

九州大学 工学部 正員 小坪清貴
九州大学 工学部 学生員 O石井和夫

I まえがき

地震において、構造物周辺地盤の歪は、1%に達することもあるといわれている。このような歪に対し土は非線型的挙動を示し、構造物は明らかに非線型的応答を示すことになる。従来、基礎構造物の耐震設計には、線型な地盤反力係数を用い等価な減衰を仮定する方法が用いられてきたが、最近では、履歴復元力を考慮して、地盤反力係数・減衰定数を求めようとする研究がなされてきている。一般に、地盤のテストピースは比較的容易に得られ、三軸試験やセン断試験により、その応力-歪特性が明らかにされる。本論文では、このようにして得られた応力-歪曲線からケーソンの復元力を求めようとするものであり、ケーソンを2次元的に理想化し、有限要素法を用いて、各要素には、テストピースより得られた応力-歪特性を与えて、復元力の2次元的なヒステリシスループを求め、しかるのち、それをケーソンの深さ方向に積分してケーソンの復元力特性を得ようとするものである。この復元力特性が求まれば、これを用いてケーソンの非線型応答計算を行なうことが可能となる。

II 解析方法

図-1に示すような有限要素分割を考える。寸法は図のとおりとし、境界条件として、節点5~12にS方向自由なローラーを取り付け節点13, 23~25は、完全固定とした。土のテストピースの実験結果のかわりに図-2に示すようなφ-εの関係を用い、これを各要素の応力-歪曲線とした。この曲線は応力を歪の関数として最も外側で近似した。解析手順は、ケーソン(2次元)に微小な変位を与えて、各要素の応力と歪を計算し、次に、その歪に対する応力及びヤング率を求め、増分法により、2次元歪問題を逐次解いていった。このようにして得られた履歴曲線から、ケーソンのロッキングによる変位に対応した反力を読み取り、ケーソン深さ方向に加え合わせ復元力を得、ロッキングによる復元モーメントも、反力にロッキングセンターよりの距離を乗じて得られた。

III 有限要素法の精度

精度をチェックするため、2次元弾性論解との比較を行なった。

2次元弾性論は、応力、寸法を図-3の様に定めると次の様に表わせる。

$$\left. \begin{aligned} (\sigma_r \cdot r_0 / G)_{r=r_0} &= -\frac{6(\xi_0^2 + 1)}{4(\xi_0^2 + 1) \log \xi_0 + (\xi_0^2 - 1)} \cos \theta \\ (\tau_{r\theta} \cdot r_0 / G)_{r=r_0} &= \frac{6 \xi_0^2}{4(\xi_0^2 + 1) \log \xi_0 + (\xi_0^2 - 1)} \sin \theta \end{aligned} \right\} (a)$$

$$\sigma_x = \sigma_r \cos \theta + \tau_{r\theta} \sin \theta \quad \text{式中、記号は } G: \text{土の剛性率 } \xi_0 = R_0 / r_0$$

図-1に示した要素分割で要素1~6の弾性応力 σ_x (図-1S方向)の合力と節点反力和、及び、分割方法・要素数の異なるものについての合力と節点反力和、2次元弾性論解を表-1に示してある。

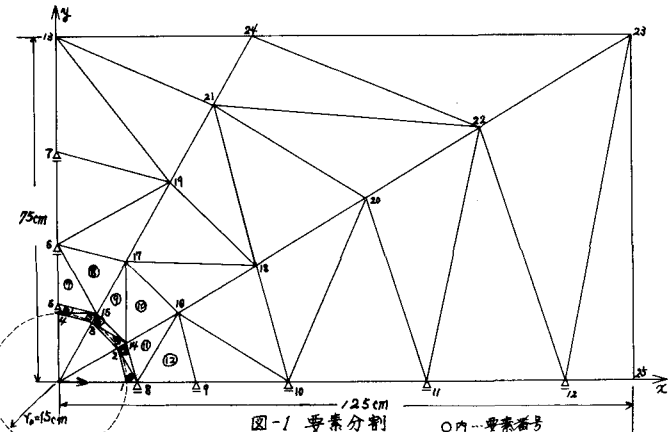


図-1 要素分割

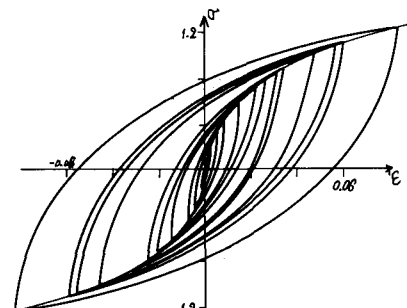


図-2 応力と歪の関係

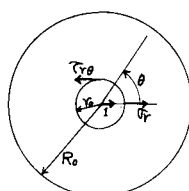


図-3 円形領域地盤内のケーソン

表-1から、節点反力和を取るよりも、要素内応力和を取らほうが良いことがわかる。また、要素数を増しても、演算時間に較べて精度がそれほどあがらないこともわかる。したがって、図-1に示した要素分割により計算を進めていった。

IV 復元力解析結果

図-4に弾塑性解析の後の分布を示す。図-5は、単位深さのケーランに働く復元力を縦軸に、ケーランの変位を横軸にして示した。図-6(a)に示すようにケーランの1次振動のロッキングセンター回りに、角度θだけ回転させて、その側面反力をより復元モーメントを図-5の結果を用いて計算し、側面反力分布を図-6(b)に。復元モーメントと回転角の関係を図-6(c)に示した。

▽ 等価線型化

図-6(c)の復元モーメントの履歴曲線より、次のようにして等価な減衰定数を求めることができる。

図-7の履歴ループにおいて

a/bの勾配が等価弹性係数E_{eq}であり、履歴減衰η_{eq}は次式となる。

$$\eta_{eq} = \frac{1}{4\pi} \frac{\Delta W}{W} \quad (b)$$

△W; 履歴曲線のループの全面積

W; △OABの面積

(b)式の結果を表-2に示す。図6-(c)より求まる反力係数と、減衰定数を用いて、ケーランの線型応答計算が容易に行ないうる。

このように理想化したことの実際との相違がどの程度であるかということを、図-5をそのまま用いた非線型応答計算によってチェックしていく。

なお、非線型応答計算には、レンジ・カッタ・ギル法を用いることとした。

その結果は、目下計算中であり、当日発表する予定である。

▽ 天端加振によるケーラン応答 (Modal analysis)

$$y_s + 2 f_s n_s y_s' + n_s^2 y_s = P_s \quad (P_s = Q_s/M_s) \quad Q_s; 换算外力 \\ y_s; S_2 の基準座標 \quad M_s; 换算質量$$

上式を解き2次以上を無視すると、

天端応答y_{top}は、

$$|y_{top}| = \frac{(l - z_0 + Y_1)}{M_s^2} \cdot \frac{1}{\sqrt{(1 - (\omega_{T_1})^2)^2 + 4f_1^2(\omega_{T_1})^2}} \quad (c)$$

参考文献

土と構造物の動的相互作用(土質学会)

有限要素法による構造解析プログラム(日本鋼構造学会)

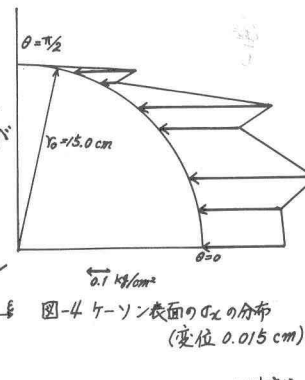


図-4 ケーラン表面のG_xの分布
(変位 0.015 cm)

		反力 (kg)	
2次元	G=6.7 (P ₀ =100cm)	1.280	
弹性論 厳密解	G=5.0 (P ₀ =75cm)	1.520	
		要素内応力和	節点反力和
有限 要素 法	要素 32 節点 25(個)	1.621	2.758
弹性論 厳密解	要素 71 節点 38	1.633	2.589
要素 26 節点 21	1.480	2.815	
要素 77 節点 52	1.528	2.615	
要素 47 節点 36	1.703	2.680	

表-1 ケーラン変位 0.001cm
による復元力

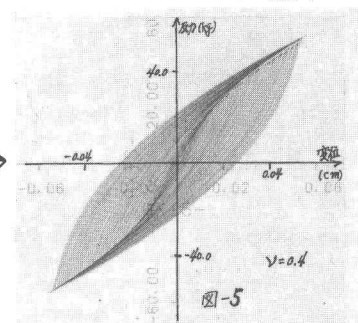


図-5

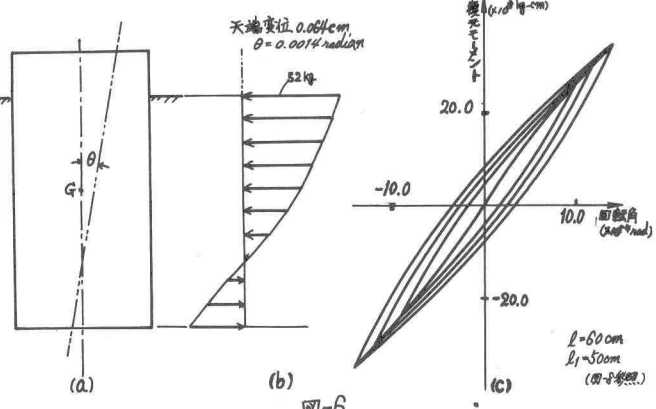


図-6

$$l=60\text{cm}, l_1=50\text{cm} \quad (\text{図-8参照}) \\ (\text{地下遮蔽減衰 } \rho=0.047)$$

θ_{max} (radian)	ρ_{eq}	$\rho_{eq} +$ (地下遮蔽減衰)
0.0004	0.036	0.083
0.0006	0.076	0.123
0.0008	0.099	0.146
0.0010	0.107	0.154
0.0012	0.119	0.166
0.0014	0.126	0.173

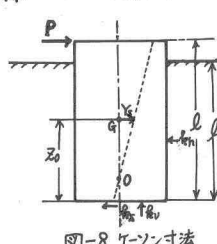


図-8 ケーラン寸法

表-2 等価減衰と地下遮蔽減衰